



2025年05月13日(火) 2025年 第3回 JBAバイオものづくりセミナー (バイオものづくりの社会実装支援サービスを提供する機関の紹介) (ZOOM配信)

# 撹拌技術の基礎および バイオ分野への応用

佐竹マルチミクス株式会社 撹拌技術研究所1G 吾郷 健一

### 1. 撹拌の基礎と装置選定

#### 1.1 撹拌目的と撹拌作用

Table. 撹拌の目的と必要となる作用

# 

濃度 ]の均一化─────混合均一化促進 ○ 温度

- B. 固一液系の撹拌 槽底での粒子の流動化(沈降堆積防止) 分離防止 液表面からの粒子吸い込み(浮上分離防止) / 粒子の浮遊懸濁、スラリー化 混合分散 凝集粒子の解膠、破砕、分散 細分化、分散 粒子の凝集沈降(浮上)分離 凝集、分離 粒子の溶解 晶析
- C. 気一液系および液一液系の撹拌 分散(気泡、液滴の細分化、分散)──細分化、分散 ガス吸収および抽出
- D. 伝熱

E. 反応:物質移動が前提。加熱、冷却および温度制御も 強く関連(A~Dの複合も強い因子を検討)

#### 【主として関連する撹拌作用】

· (移動現象の役割)· (物質および熱移動)

- (1) 混合および分散均一化作用
- (2) 凝集、破壊細分化作用

(力学的作用(運動量移動))

- (3) 流動、浮遊化作用 (移動運搬作用)
- (4) 界面移動現象促進作用

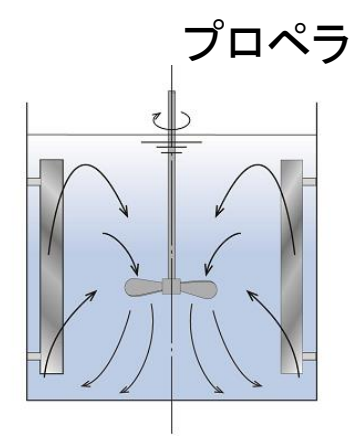
(物質及び熱移動)

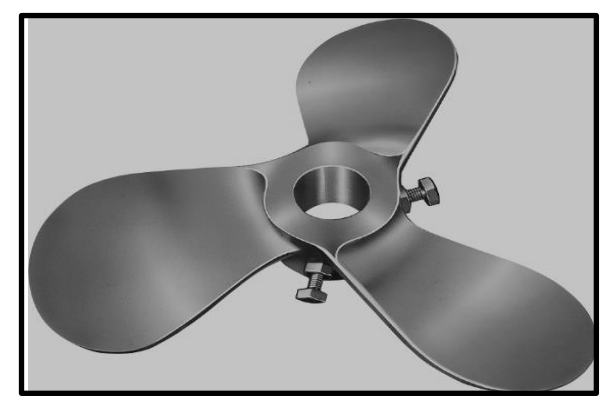




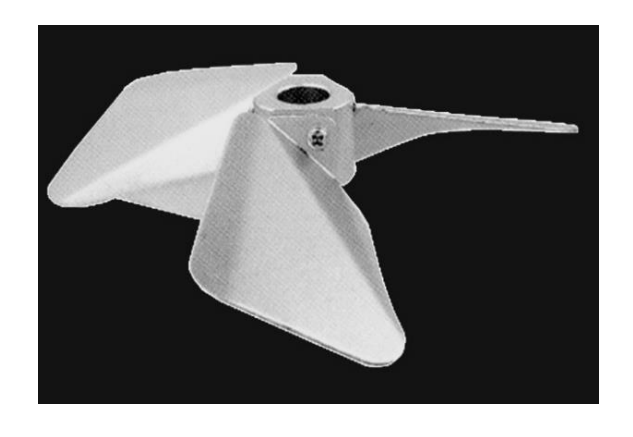
### 撹拌翼の種類

#### 軸流翼

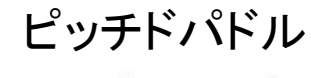


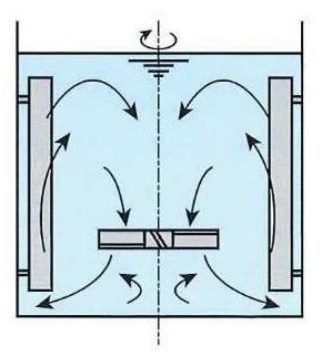


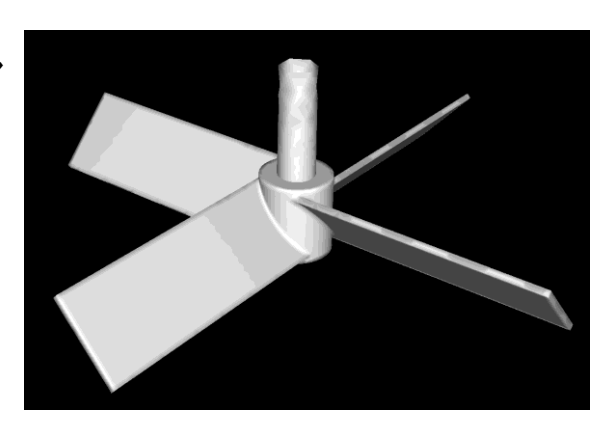
HR100翼



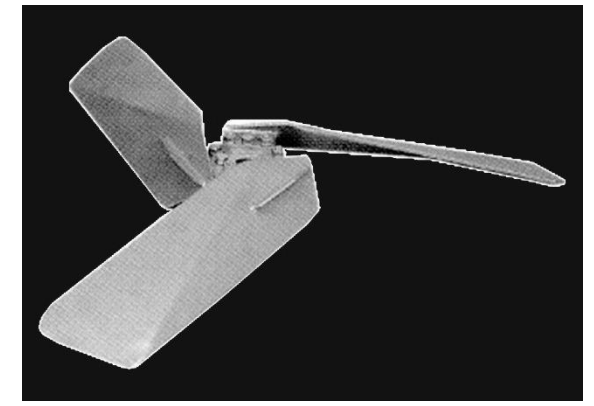
#### 斜流翼



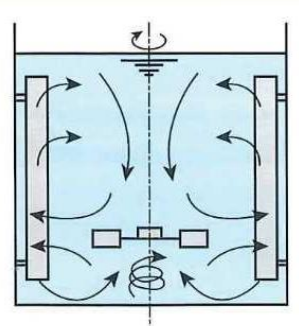




HR320翼



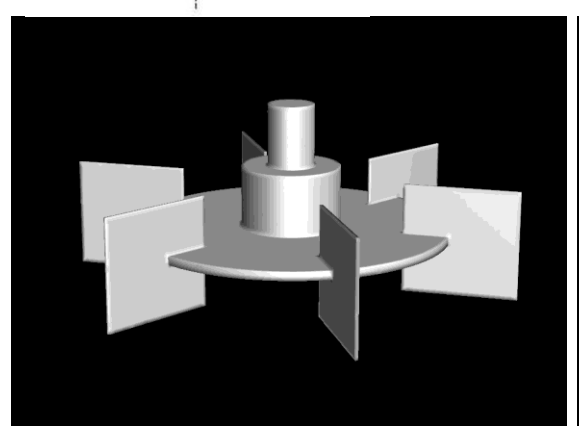


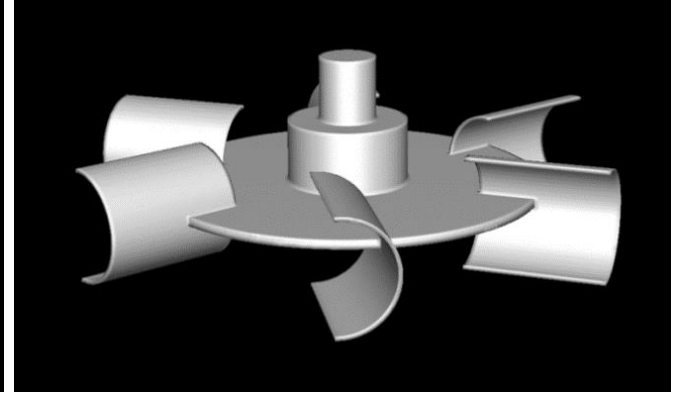


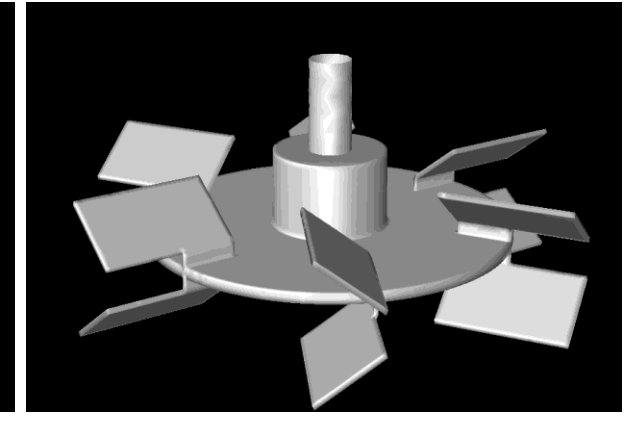
### 撹拌翼の種類

#### 輻流翼

通気撹拌や液液分散に使われることが多い。



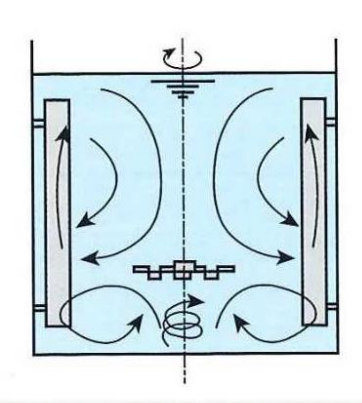




ディスクタービン

コンケーブ翼

HS100翼





DSインペラ (ディスパー)

ノコ歯状のエッジを有し、高速回 転によって強力なせん断作用を 起こす。





### 1.2 撹拌Reynolds数と動力特性

### 撹拌Reynolds数

撹拌動力を把握することは, 撹拌装置の仕様選定に必要不可欠であり, 撹拌性能評価の指標などにも用いられるため重要となる。

#### •撹拌Reynolds数Reと動力数Npが重要

#### ◎撹拌Reynolds数

 $Re = \rho nd^2/\mu$ 

ρ:密度[kg/m³] n:回転数[s<sup>-1</sup>]

d:翼径[m]

μ:粘度[Pa•s]

撹拌Re数により、槽内の流動状態を下記のように判別できる。

Re ≤ 100 ... 層流領域

100 < Re < 1000 ... 遷移領域

1000 ≦ *Re* ... 乱流領域

※上記区分の数値は、研究者や文献によって多少の違いがある。

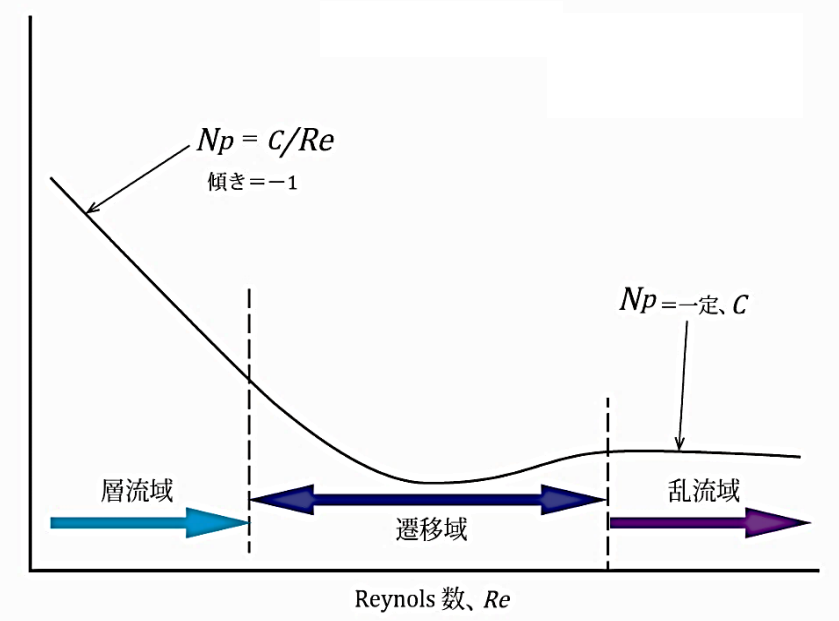




#### 動力特性

◎撹拌所要動力

$$P = N_P \cdot \rho \cdot n^3 \cdot d^5$$



動力 *P*:[W] = [Nm/s]

密度  $\rho$ : [kg/m<sup>3</sup>]

回転数 n:[1/s]

翼径 d:[m]

$$N_P = \frac{P}{\rho n^3 d^5}$$

Fig. 撹拌Re数と動力数 $N_P$ との関係(邪魔板条件)

【乱流域】 $N_{
m p}$ がほぼ一定となる (邪魔板付き条件)。

【層流域(Re<10)】動力数 $N_{\rm p}$ と撹拌Re数は下式の関係となる。  $N_{\rm p}$ ・Re=C(C:定数)

 $N_{\rm p}$ -Re曲線があれば、Re数から $N_{\rm p}$ が分かるので、設計することが可能



## 2. 撹拌の評価方法 2.1 フローパターンの測定

#### 何を測定すればいいのか。

- もっとも大切なのが、フローパターンである。
- → トレーサー粒子を投入することで、間接的に流れを可視化することができる。

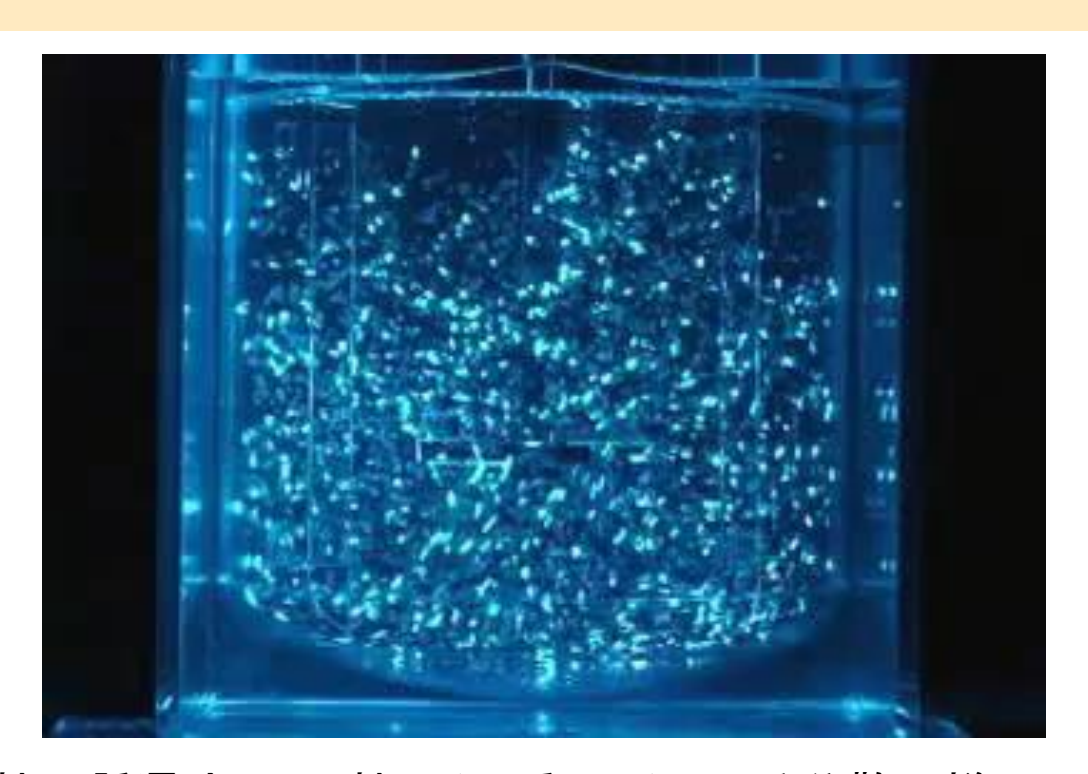


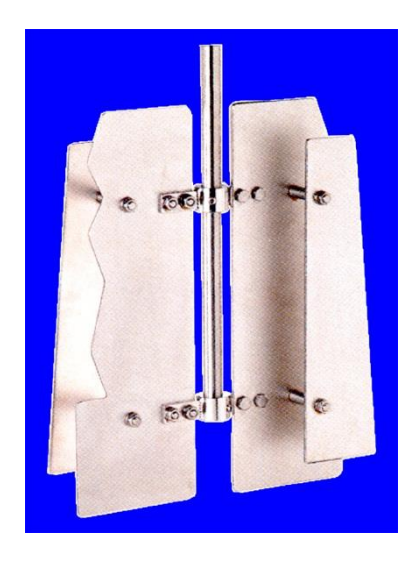
Fig. 粒子懸濁法: ABS粒子(比重1.05)による分散の様 (4PP)





#### 2.2 混合時間の測定

### ヨードーハイポによる脱色反応を用いた方法





Re = 100 $\mu$ =1000 mPa • s

特殊大型翼 (MR205 Impeller)

ダブル ヘリカルリボン

- 混合時間が測定できる。
- 実験準備,実験方法が容易である。
- 視覚的に分かりやすい。





#### 2.3 動力測定

トルクメータを用いて撹拌トルクから動力数Npを算出する。

 $\rightarrow N_{\rm P}$ -Re曲線

【ラボ用トルクメータ】

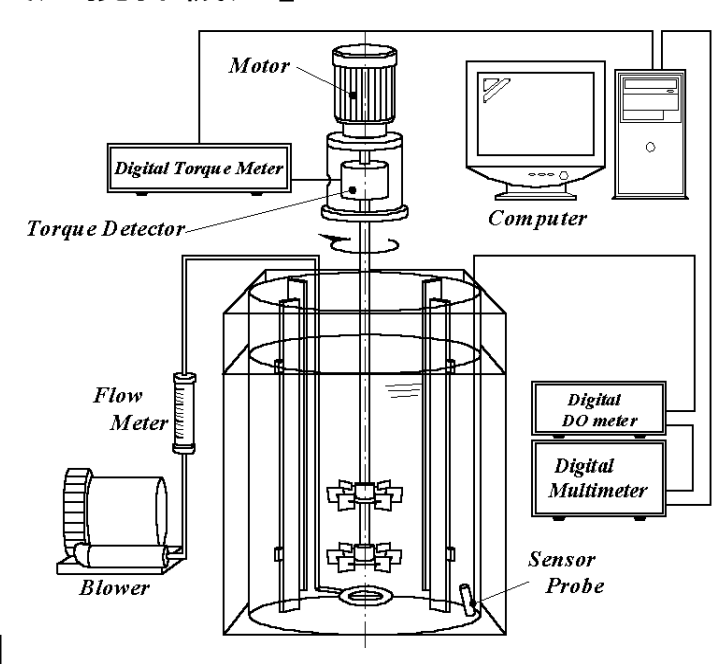


 $P = \omega T = 2\pi nT$ 

 $P = N_{\rm p} \rho n^3 d^5$ 

動力 P [W]=[Nm/s] 回転数 n [1/s] トルク T [N・m] 密度 ρ [kg/m³] 翼径 d [m]

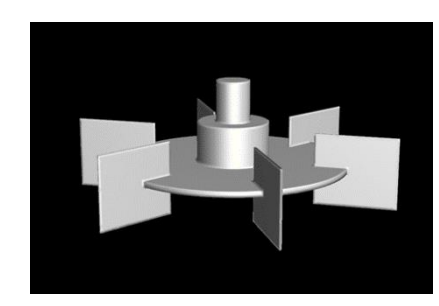
#### 【実用撹拌機用】

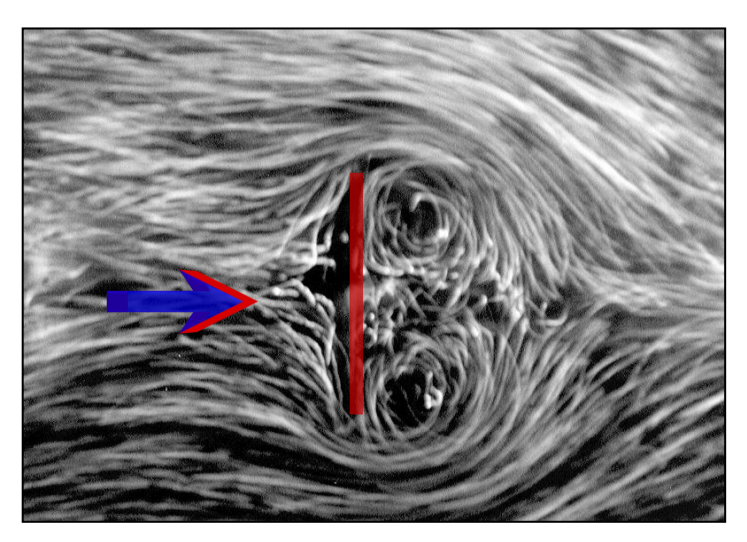


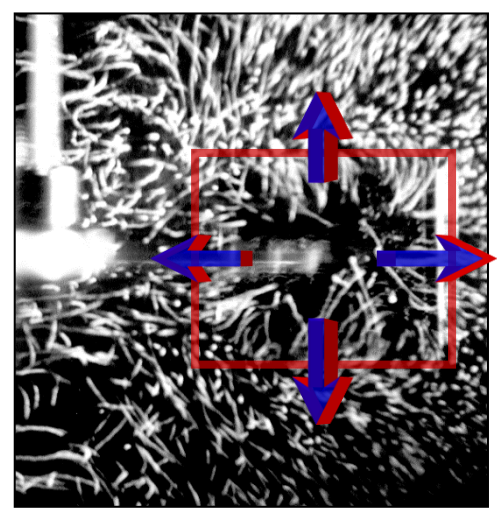


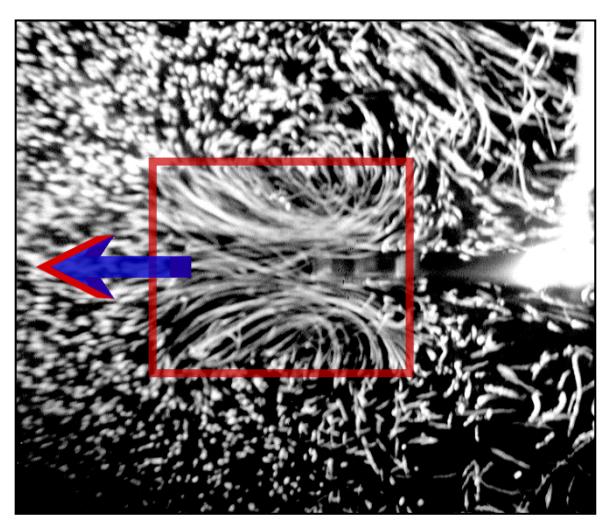
#### 3.1 微生物培養(気液撹拌)

### 6FTの吐出特性 (粒子懸濁法による可視化)









翼断面

翼前面

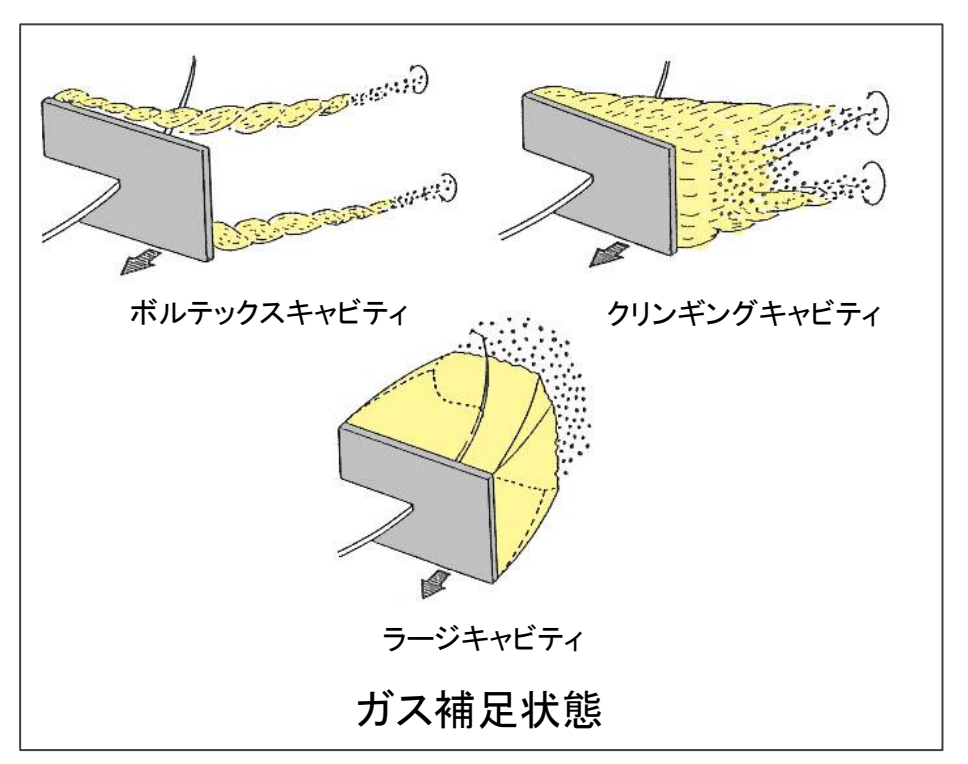
翼背面

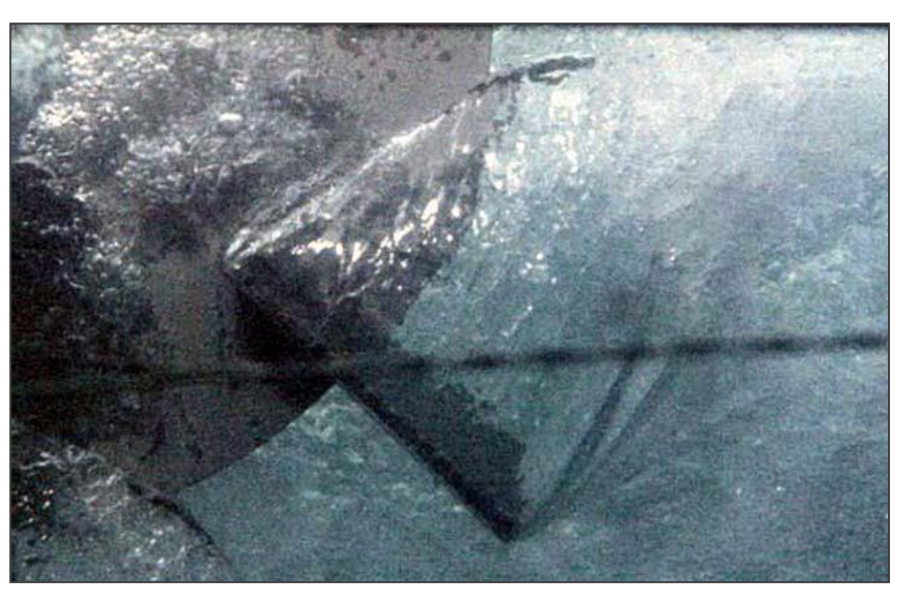
- ◎翼背面の負圧と慣性力を利用した吐出形態
  - ・負圧による高吐出流
  - ・Edge Voltex (圧力勾配)などによるせん断力





### 従来翼の課題点





ラージキャビティ発生状況  $(P_{gV}=1.5 \text{ kW/m}^3, 1 \text{ vvm})$ 

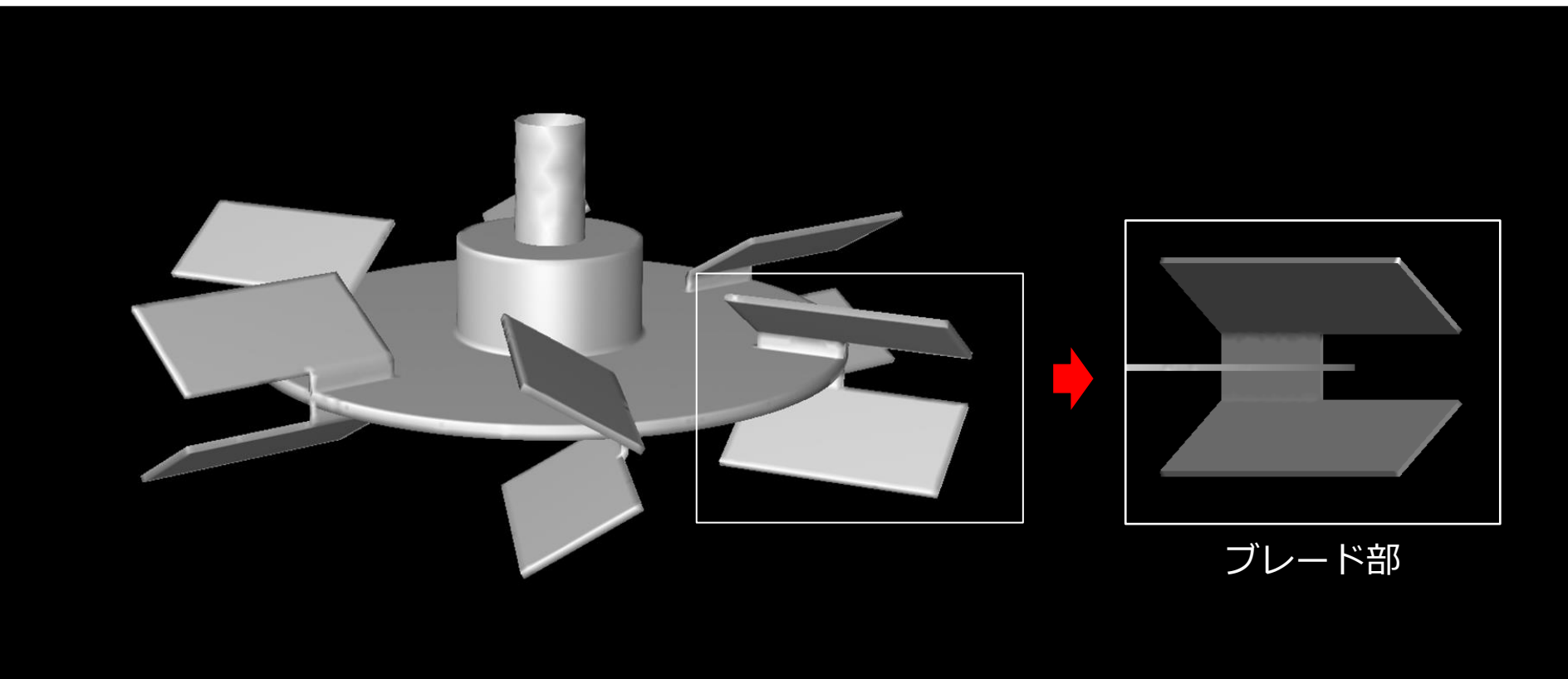
#### 通気流量が増すと翼背面の負圧部に気泡溜が形成

- ・通気時の動力が極端に低下
- •液流動作用が低下
- ・剪断・破壊作用が低下





### Super-Mix HS100 Turbineの特徴



- ・ブレード吐出部にクリアランス(上下2枚の翼として最適化) → 最大の特徴
- ・剥離を抑制した翼形状(迎角の検討)
- ・従来型Turbineの翼背面の負圧を利用した吐出形態とは根本的に異なる



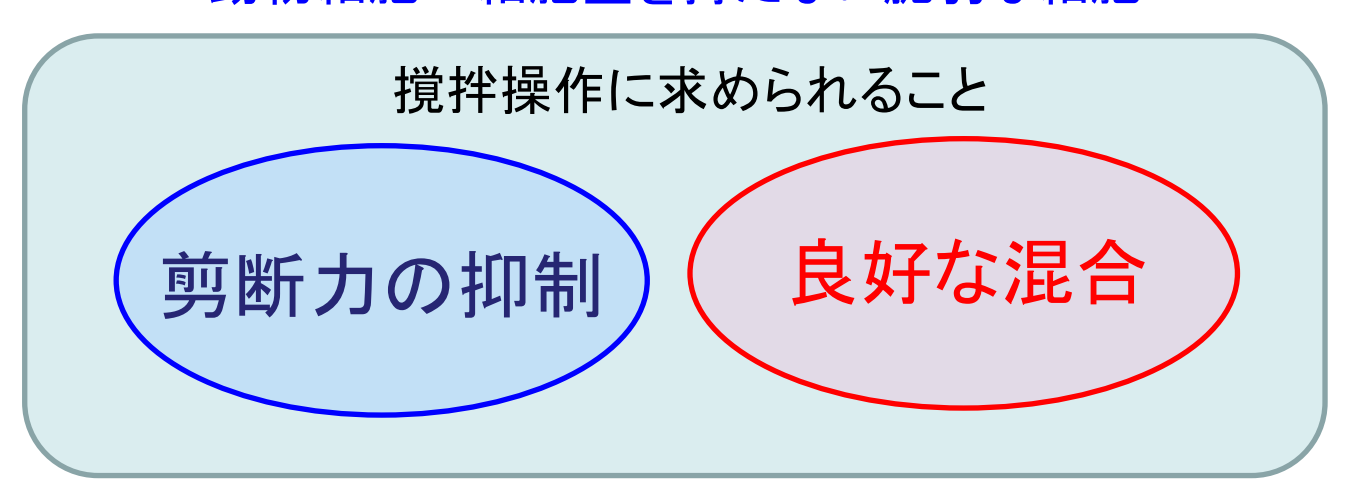


#### 3.2 動物細胞培養(気液撹拌)

バイオ医薬品を効率的に生産する。

いかにして動物細胞を高密度に培養して生産量を上げるかが重要である。

動物細胞…細胞壁を持たない脆弱な細胞



実用化には大量培養が求められる

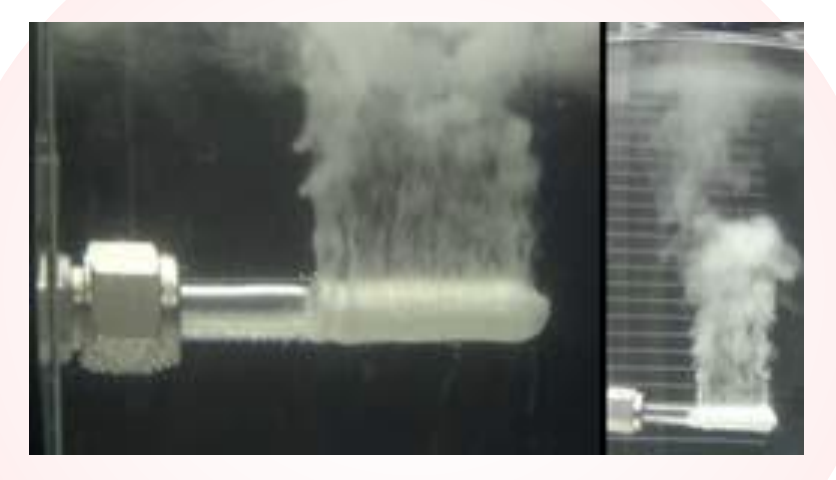




### 動物細胞培養装置 VerSus Reactor



#### SPG膜スパージャー

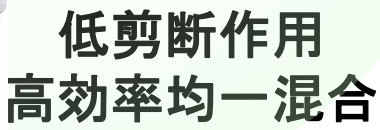


マイクロバブルの均一分散による 高効率酸素供給



SATAKE VMF





二つの技術の融合

今までにない新しい細胞培養用バイオリアクター





### 產業用iPS細胞分化誘導培養装置

HID 4x4

SATAKE VMOVE MIXER® Single-Use Bioreactor



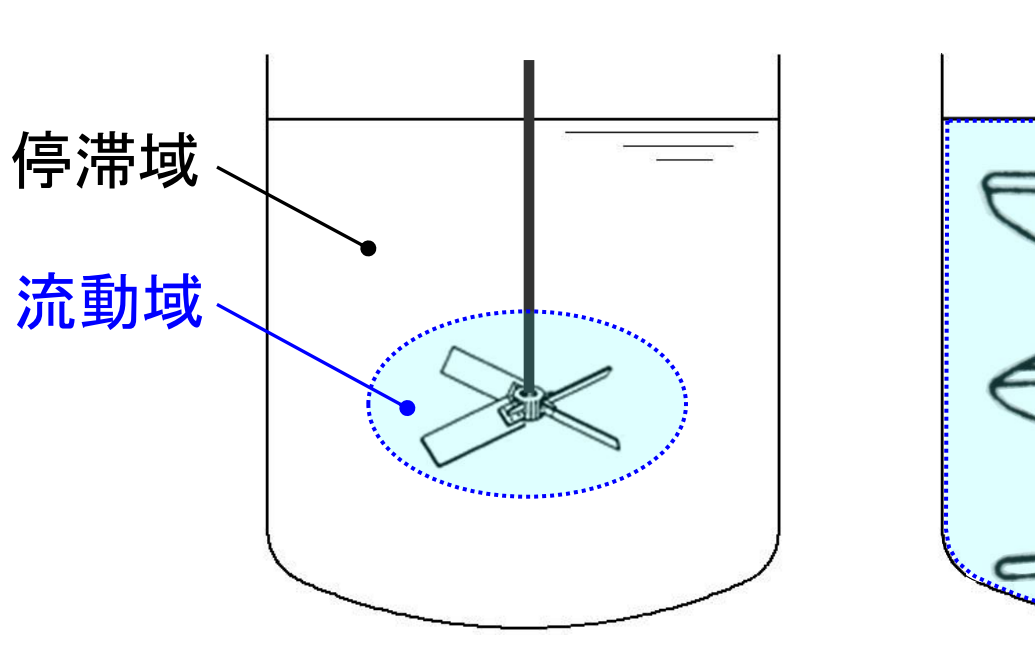


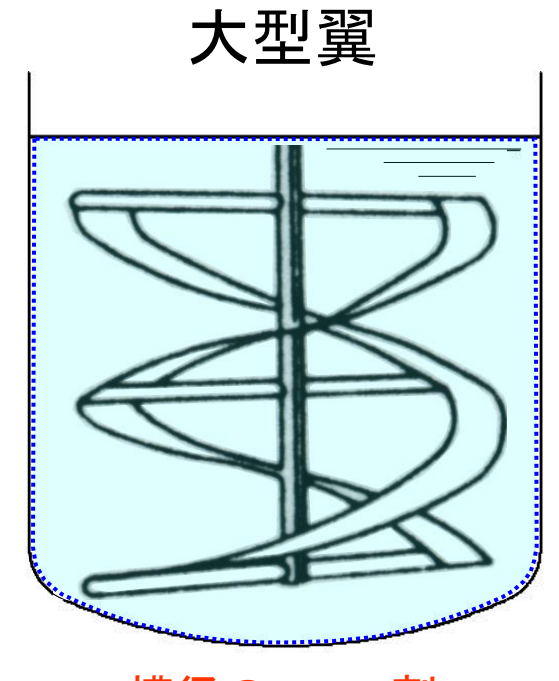






### 3.3 高粘度流体の撹拌





槽径の7~10割

粘度が高い液:流体運動を止めようとする性質が強い。



槽径に対し、比率の大きい翼(大型翼)で全体を撹拌する。





### 佐竹マルチミクスで開発された大型翼

MR203



標準型

MR205



吐出強化型 (二重翼効果)

MR210



サニタリ一性 強化

LR500



超高粘性対応 (撹拌Re<10)







# ご清聴ありがとうございました。

k.ago@satake.co.jp 吾郷 健一(あごうけんいち)